

# トレンチ内に堆積する浮泥量の予測手法と現地への適用例

細川 恭史\*・田中則男\*\*・久高将信\*\*\*・佐藤勝弘\*\*\*\*

## 1. まえがき

砂を対象とした海浜変形の予測手法については、従来より多くの研究がなされており、Bijker<sup>1)</sup>、入江<sup>2)</sup>らにより一部実用に供する数理モデルが提案されている。

一方、浮泥のような泥質の場合については、これまでに多くの分野で底泥の巻き上げ・沈降・拡散等の個々の現象に関する基礎的な研究はあるが、浮泥の堆積量予測等の応用的な研究は少ない。また、その予測対象は主に感潮河川域でのシルテーションであり、トレンチ等への堆積を直接予測の対象として取り扱っている報告例は少ないのが現状である。

そこで、本報告では波作用下における底泥の巻き上げ・沈降、拡散を含む浮泥流動を予測する数理モデルを構築し、これを現地トレンチ内の浮泥堆積問題に適用し、その有効性について検討を加えた。

本報告は、底質浄化を目的として実施した福岡県行橋市沖合 8 km、水深 10 m の位置での集泥トレンチ（刈田トレンチ）における調査を対象としている。しかし、この手法については泥質海域における航路埋没予測にも当然適用しうるものである。

## 2. 浮泥流動予測モデル

### 2.1 モデルの概要

本報告で用いる堆積量予測モデルは、基本的には底面での巻き上げ・沈降項を含んだ浮遊泥の移流拡散方程式を解くことにより、トレンチ内に堆積する浮泥量を予測するモデルである。巻き上げ項の評価は、Sheng ら<sup>3)</sup>にならって行なう。波浪は底泥を巻き上げることのみに寄与し、流体層に巻き上げられた浮泥は流れによってのみ運ばれると仮定する。このため、底面せん断力の算定には田中・首藤<sup>4)</sup>による波・流れ共存下の底面摩擦力の算定式を用いる。このようにして、外力条件（波浪・流れ）および底質条件（沈降速度  $w_f$ 、限界せん断力  $\tau_e$ 、経験

定数  $M$  等）を与えることにより、底泥の巻き上げ→移流・拡散→沈降の一連の浮泥の移動状況が予測される。

### 2.2 基礎式

底泥が「巻き上げ→移流・拡散→沈降」を繰り返しながら移動しトレンチに堆積すると考え、これらの現象を流体に関する連続式、運動式、巻き上げ・沈降項を含む浮遊泥濃度に関する移流拡散式および底質に関する連続式を用いて表わすと式(1)～(5)のようになる。また、図-1 に座標系と変数の定義を示す。

#### i) 流体の連続式

$$\frac{\partial u}{\partial x} + \frac{\partial w}{\partial z} = 0 \quad \dots \dots \dots (1)$$

#### ii) 流体の運動方程式

$$\begin{aligned} \frac{\partial u}{\partial t} + u \frac{\partial u}{\partial x} + w \frac{\partial u}{\partial z} + \frac{1}{\rho} \frac{\partial p}{\partial x} - \frac{\partial}{\partial x} \left( K_x \frac{\partial u}{\partial x} \right) \\ - \frac{\partial}{\partial z} \left( K_z \frac{\partial u}{\partial z} \right) = 0 \end{aligned} \quad \dots \dots \dots (2)$$

$$\frac{1}{\rho} \frac{\partial p}{\partial z} - g = 0 \quad \dots \dots \dots (3)$$

#### iii) 浮遊泥濃度に関する移流拡散方程式

$$\begin{aligned} \frac{\partial c}{\partial t} + u \frac{\partial c}{\partial x} + (w - w_f) \frac{\partial c}{\partial z} - \frac{\partial}{\partial x} \left( E_x \frac{\partial c}{\partial x} \right) \\ - \frac{\partial}{\partial z} \left( E_z \frac{\partial c}{\partial z} \right) = 0 \end{aligned} \quad \dots \dots \dots (4)$$

#### iv) 底質の連続式

$$\frac{\partial}{\partial t} (\rho_b \cdot \eta) = D - P \quad \dots \dots \dots (5)$$

ここで、 $u, w$ : それぞれ  $x, z$  方向の平均流速、 $p$ : 圧

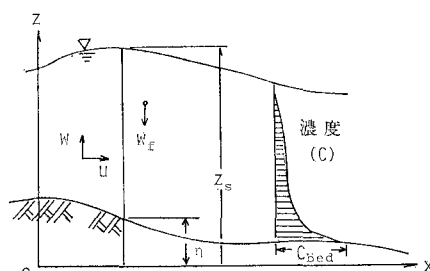


図-1 座標系と変数の定義

\* 正会員 工修 前運輸省第四港湾建設局 海域整備課長

\*\* 正会員 工博 前運輸省港湾技術研究所 海洋水理部長

\*\*\* 正会員 (株)エヨー 技術研究所

\*\*\*\* 正会員 工修 (株)エヨー 技術研究所



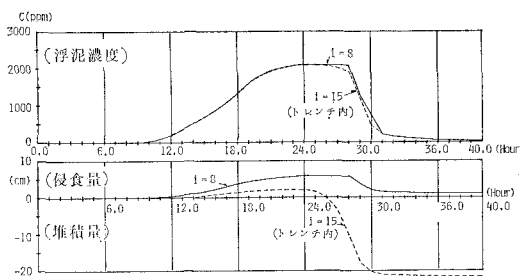


図-4 Owen モデルによる計算例

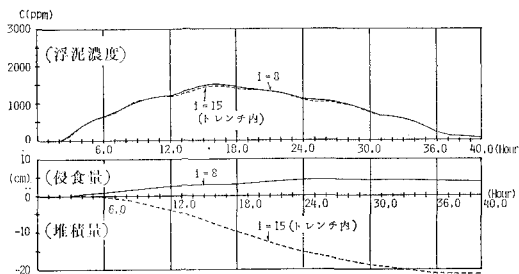


図-5 Sheng モデルによる計算例

大量の底泥が、波浪の通過後にトレンチ内に堆積する基本的な堆積現象は説明できるが、底面せん断力が巻き上げ限界値以上であれば上層の濃度とは無関係に常に巻き上げが生じ、その結果沈降が急激に生じる等の現実的でない点があることがわかる。

一方、Sheng モデルでは、巻き上げ限界以上になるとトレンチ外 ( $i=8$ ) では巻き上げが生じ徐々に洗掘を受けるが、逆にトレンチ内 ( $i=15$ ) では流入する浮泥が沈降し、連続的な堆積が生じている。これらの傾向は Owen モデルの場合と比較してより現実的と考えられ、本報告では底面の巻き上げ・沈降量の評価モデルとして Sheng モデルを採用し、現地トレンチへの適用を行なった。

### 3. 現地浮泥堆積問題への適用

ここでは、2. で得られた浮泥堆積量予測モデルを苅田トレンチに適用してトレンチ内堆積状況の追算を行ない、その有効性を検討した。位置図を図-6 に、平面図および断面図を図-7 に示す。

#### 3.1 計算条件

##### a) 諸条件

計算範囲は、トレンチを中心に北西～南東に伸びる約 1.5 km の範囲である。計算格子は可変格子で、水平・鉛直方向ともトレンチに近づくにつれて細メッシュになるように設定した。水深は 10 m で、トレンチ内水深は 12 m である。初期濃度は 0 ppm ( $0 \times 10^{-3} \text{ kg/m}^3$ ) とし、

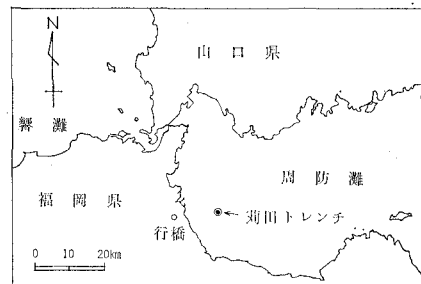


図-6 トレンチ位置

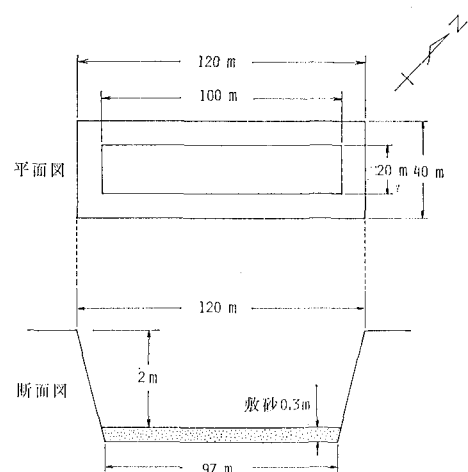


図-7 トレンチの平面図および断面図

水平・鉛直拡散係数はそれぞれ  $K_x = 1000$ ,  $K_z = 1 \text{ cm}^2/\text{sec}$  とした。また、底泥の見かけの比重は  $1.2 \text{ g/cm}^3$  とした。

堆積量予測計算における流れの場としては、平均流速が十数 cm 每秒となるように潮流計算を行ない、この結果を用いた。

##### b) 諸パラメータの設定

底泥の堆積・洗掘量を精度よく求めるには、モデル化に際して必要なパラメーター（浮泥の沈降速度  $w_f$ 、限界せん断力  $\tau_c$ 、経験定数  $M$ ）について検討する必要がある。

###### i) 沈降速度 $w_f$

沈降速度を推定する方法として、ストークス式によって推定する方法、楠田ら<sup>6)</sup>の提案式を用いる方法および Owen, Krone ら<sup>7)</sup>の提案式を用いる方法等があるが、ここでは浮泥粒子の粒径を  $20 \mu\text{m}$  ( $2 \times 10^{-5} \text{ m}$ ) とし、ストークス式より  $w_f = 3.6 \times 10^{-4} \text{ m/sec}$  とした。

###### ii) 経験定数 $M$

巻き上げの評価式 (10)において、楠田ら<sup>6)</sup>がまとめた  $M$ ,  $n$  の値のうち、貯水池泥における  $M=0.18$ ,

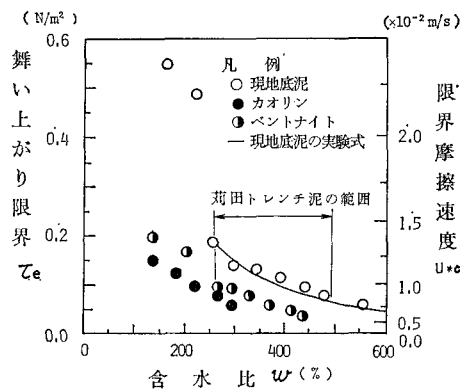


図-8 含水比と限界せん断力

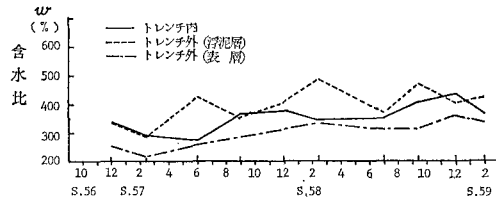


図-9 トレンチ周辺底泥の実測含水比の推移

$n=1.0$  の値を用いた。

### iii) 限界せん断力 $\tau_e$

洗掘限界におけるせん断力 ( $\tau_e$ ) は浮泥が巻き上げられ始めるときのせん断応力である。しかし、測定が困難なことから、この定義には曖昧さがあり、提案者により定義は異なる。運輸省第四港湾建設局の調査によると、刈田港沖の現地泥を用いての円形水槽実験より、舞い上がり限界の掃流力（限界せん断力）と含水比との関連性（図-8）を指摘しており、含水比が 256% 以上の場合、次式で表わされるとしている。

$$\frac{\tau_e}{\tau_0} = \alpha \left( \frac{w}{w_0} \right)^{-1.85} \quad \dots \dots \dots \quad (12)$$

ここに、 $\alpha \tau_0 w_0^{-1.85} = 3300$

$\tau_0, w_0$ : それぞれ限界せん断力と  
含水比の初期値

図-9 および 10 にトレンチ周辺の含水比およびこれを用い、式 (12) によって求めた限界せん断力の経時変化を示す。ここでは、堆積厚は時化の直前の含水比に左右されると考え、限界せん断力は時化によってその含水比に対応した値を用いた。また、限界せん断力が一定の場合 ( $\tau_e=0.1 \text{ N/m}^2$ ) についても計算し、堆積厚の比較を行なった。

### c) 底面せん断力および計算ケース

調査期間中の主な時化の底面せん断力を、田中・首藤<sup>4)</sup>の抵抗則を用いて計算した。同期間中の  $H_{1/3} \geq 1.0 \text{ m}$

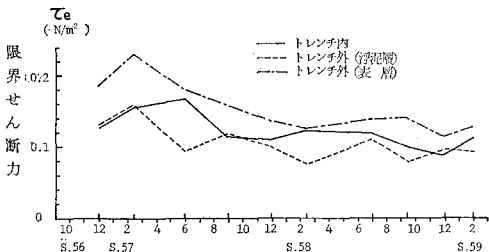


図-10 トレンチ周辺底泥のせん断力の推移

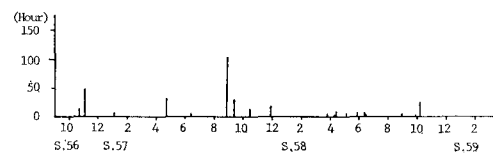
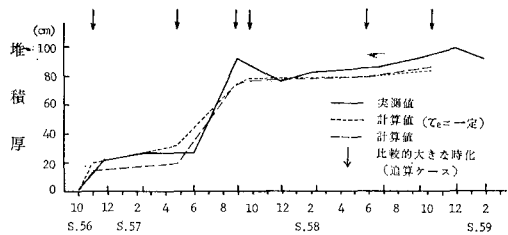
図-11 各時化の  $L(\tau/\tau_e-1) \cdot dt$ 

図-12 堆積厚の比較

となるすべての時化の底面せん断力より、巻き上げ量の大きさの目安として  $L(\tau/\tau_e-1) \cdot dt$  を求め、プロットしたもののが図-11 に示す。これより、トレンチ内の浮泥堆積量の追算には、昭和 56 年 10 月～昭和 59 年 2 月までの間の 6 回の時化を対象にした。

### 3.2 計算結果

調査期間中の 6 回の時化の追算を行なった結果を実測値とともに図-12 に示す。一定の限界せん断力で追算した場合、計算値は実測の堆積厚に近い値を示している。また、各時化毎に限界せん断力を変えた場合はさらにトレンチの堆積状況を良く説明できる。

実測の堆積厚をみると、トレンチ掘削後昭和 57 年 6 月までは約 23 cm の堆積、9 月までにさらに約 69 cm 堆積し、それ以後はほぼ横這いとなっている。昭和 56 年 10 月～昭和 57 年 5 月の間に大きな時化が 2 回発生しているにも拘わらず 23 cm の堆積にとどまっているのは、トレンチ外底泥の含水比が小さかったことによるものと考えられる。昭和 57 年 6 月～8 月の間に約 69 cm 堆積したことについては、底泥の含水比が大きいことにより巻き上げられ易い状態にあったことおよび 8 月末に来襲

した台風の規模が大きかったことによるものと考えられる。また、昭和57年9月以降は堆積厚が90cm前後の状態が続いているが、これは、トレーニング深さが浅くなつたことによりトレーニング内外の底面限界せん断力の差が小さくなつたこと、および昭和57年8月までの大きな時化に匹敵する時化が発生しなかつたことが原因と考えられる。

#### 4. あとがき

以上、本報告では巻き上げ・沈降量の評価モデルとしてShengのモデルを採用し、浮泥堆積量予測モデルを作成した。さらに、このモデルを用いて刈田港における波浪データをもとに主な時化について刈田トレーニングにおける浮泥堆積厚の追算を行なつた。この際の重要なファクターとしては現地の波浪条件が上げられる。このほかに沈降速度 $w_f$ 、限界せん断力 $\tau_e$ および経験定数 $M$ 等のパラメーターも重要であり、既往の調査・研究事例を参考に検討を行ない妥当と考えられる値を設定した。これらの結果から、波浪データおよび底泥の含水比とトレーニング内堆積厚の推移についての追算は可能であり、本モデルの堆積量の量的な推定に有効性が確かめられた。

今後の課題としては、これまで巻き上げの主な要因となる波作用下でのトレーニング内への堆積機構に関する水理実験・実測の報告例は見られないことから、今後水理実験等による堆積機構の検討が必要と考えられる。また限界せん断力の定義は曖昧であり、その値にはある幅が

存在する。従って室内実験、実測から、より詳細な検討が必要である。

本報告は、運輸省第四港湾建設局が実施している周防灘における底質浄化実施設計調査の一部をとりまとめたものである。本調査の実施に当たり、運輸省港湾局の御指導、御助言を頂いたほか、現地調査および資料収集に際して、運輸省第四港湾建設局刈田港工事事務所の方々の多大な御協力を得ました。ここに記して謝意を表します。

#### 参考文献

- 1) Bijker E. W.: Sedimentation in channels and trenches, Proc. Coastal Engineering, Vol. 1, pp. 1708~1718, 1980.
- 2) 入江 功・栗山善昭: 底質の移流・沈降過程を入れた航路・港内埋没の予測, 港研報告 Vol. 24, No. 2, pp. 157~204, 1985.
- 3) Sheng Y. P. and W. Lick: The transport and resuspension of sediments in a shallow lake, Jour. of Geophysical Research, Vol. 84, No. C4, 1979.
- 4) 田中 仁・首藤伸夫: 波と流れの共存時の底面摩擦係数に関する実験, 第27回海岸工学講演会, 1980.
- 5) Odd N. V. M. and Owen M. W.: A two-layer model of mud transport in the Thames estuary, Proc. of the Institute of Civil Engineering, 1972.
- 6) 楠田哲也: 底泥の輸送現象と水質に及ぼす影響, 水工学シリーズ, 83-A-7, 1980.
- 7) The Task Committee on Causes and Effects of Shoaling in Navigable Waters of the Committee on Waterways of the Waterway, Port, Coastal and Ocean Division: Shoaling processes in navigable waters, Proc. W. W. of A.S.C.E., pp. 199~221, 1983.